



A Supervised Method for Building A Regularized Map for General Multi-View Multi-Manifold Learning

Faraein Aeini ¹, Amir Masoud Eftekhari Moghadam ^{2*} and Fariborz Mahmoudi ³

1- Computer and Information Technology Engineering, Qazvin Branch, Islamic Azad University, Qazvin, Iran

2*- Computer and Information Technology Engineering, Qazvin Branch, Islamic Azad University, Qazvin, Iran.

3- Data scientist Advanced Analytics Department, General Motors, Warren, MI, USA.

¹ faraein.aeini@qiau.ac.ir, ^{2*} eftekhari@qiau.ac.ir, and ³ fariborz.mahmoudi@gm.com

Corresponding author's address: Amir Masoud Eftekhari Moghadam, Faculty of Computer and Information Technology Engineering, Qazvin Branch, Islamic Azad University, Qazvin, Iran.

Abstract- In this paper, we consider the issue of automatic and unsupervised class-manifold selection in a multi-view multi-manifold space. General multi-manifold learning methods achieve multiple independent manifolds, so it is challenging for them to adjust the intra-class local manifold information and global inter-class discriminative structure. In this paper, we propose a multi-manifold embedding method, which can explicitly obtain multi-view multi-manifold structure while considering both intra-class compactness and inter-class separability without using the class label information. Furthermore, to the generalization of embedding to novel points, known as the out-of-sample extension problem in multi-view multi-manifold learning, we propose a supervised method for building a regularized map that provides an out-of-sample extension for general multi-view multi-manifold learning studied in the context of classification. Experimental results on face and object images demonstrate the potential of the proposed method for the classification of multi-view multi-manifold data sets and the proposed out-of-sample extension algorithm for the classification of manifold-modeled data sets.

Keywords- Multi-view multi-manifold learning, Dimensionality reduction, Out-of-sample extensions, Multi-view classification.

ارائه نگاشت صریح و تنظیم شده باناظر برای یادگیری مالتی منیفولد داده های چندمنظوری بدون برچسب

فرایین آینین^۱ ، امیر مسعود افتخاری مقدم^{۲*} ، فریبرز محمودی

۱- دانشکده مهندسی کامپیوتر و فناوری اطلاعات، واحد قزوین، دانشگاه آزاد اسلامی، قزوین، ایران.

۲- دانشکده مهندسی کامپیوتر و فناوری اطلاعات، واحد قزوین، دانشگاه آزاد اسلامی، قزوین، ایران.

۳- دپارتمان تجزیه و تحلیل پیشرفته داده های علمی، جنرال موتورز، وارن، ایالات متحده آمریکا.

^۱ faraein.aeini@qiau.ac.ir, ^{2*}eftekhari@qiau.ac.ir, and ³fariborz.mahmoudi@gm.com

* نشانی نویسنده مسئول: امیر مسعود افتخاری مقدم، قزوین، دانشکده مهندسی کامپیوتر و فناوری اطلاعات.

چکیده- در این مقاله، به مسئله ای انتخاب خودکار و بدون ناظر منیفولد طبقه در فضای مالتی منیفولد چندمنظوری می پردازیم. مسئله ای طبقه بندی تصاویر چندمنظوری برای یافتن منیفولد طبقه را می توان به عنوان مسئله ی یادگیری چندین منیفولد با تعدادی اشتراک بین منیفولدها در نظر گرفت. در حالت کلی مسئله ی یادگیری مالتی منیفولد با چندین زیر فضای مستقل کار می کند، بنابراین ایجاد تعادل میان اطلاعات درون منیفولد طبقه و ساختار متمايز کننده بین طبقه ها مشکل است. در این مقاله، روشی پیشنهاد می دهیم که بدون استفاده از اطلاعات برچسب نقاط داده با توجه به فشردگی درون طبقه ای و تفکیک پذیری بروز طبقه ای، ساختار مالتی منیفولد چندمنظوری را به دست می آورد. به علاوه، برای تعمیم تعییه برای نقاط جدید که به عنوان مشکل «خارج از نمونه» شناخته می شود، نگاشت صریح و تنظیم شده باناظر برای کاهش بعد غیر خطی ارائه کردیم که «توسعه خارج از نمونه» را برای یادگیری مالتی منیفولد چندمنظوری در زمینه طبقه بندی آزمایش ها در دو دسته ای مدل سازی خودکار و بدون ناظر ساختار گراف مالتی منیفولد چندمنظوری و نرخ بازشناصی بر روی چندین مجموعه داده ی چندمنظوری برتری روش پیشنهادی را نسبت به دیگر روش های گزارش شده در مطالعات اخیر نشان می دهد.

واژه های کلیدی: یادگیری مالتی منیفولد چندمنظوری، کاهش بعد غیر خطی، توسعه خارج از نمونه، طبقه بندی تصاویر چندمنظوری.

محلی، یک گراف همسایگی^{*} ایجاد می کنند. واضح است اگر گراف نتواند به طور صحیح ساختار را توصیف کند، نتیجه نهایی با نتیجه هی صحیح تفاوت قابل توجهی خواهد داشت. تعیین ساختار منیفولد بر مبنای روابط همسایگی اشیا، منجر به مسائل چالش برانگیز در یادگیری می شود. یکی از این مسائل مهم، یادگیری مالتی منیفولد است که به خاطر محدودیت کلی روش های یادگیری منیفولد برای تعییه داده هایی که بر روی چندین منیفولد قرار دارند، ایجاد می شود. این مسئله از فرض اصلی روش های یادگیری منیفولد حاصل می شود که بیان می کند داده با چندین طبقه بر روی یک

۱- مقدمه

طی سال های اخیر، یادگیری منیفولد^۱ به صورت گسترده در حوزه یادگیری ماشین و بینایی کامپیوتر مورد مطالعه قرار گرفته است. بسیاری از داده ها در برنامه های کاربردی دنیای واقعی^۲ مانند چهره ها، ارقام دست نوشته و داده های مربوط به راه رفتن افراد می توانند بر روی منیفولد غیر خطی تعییه شده^۳ درون فضای با ابعاد بالاتر قرار گیرند. تعییه های منیفولد با بعد کم را می توان با کمک ساختار هندسی محلی منیفولد کشف کرد. اکثر الگوریتم های یادگیری منیفولد موجود، به عنوان پیش پردازش برای تعیین ساختار

Archive of SID

این هدف، با فرض اینکه نقاط داده نزدیک بهم در فضای با ابعاد بالا، در فضای کم بُعد نیز باید در کنار هم قرار بگیرند، انجام می‌شود. اینکه تنها معیار برای تعیین نگاشت حفظ‌کننده ساختار در روش‌های یادگیری منیفولد معمول، حفظ نقاط نزدیک بهم است، یک اشکال مهم ایجاد می‌کند. در این حالت هر دو نقطه که بردار ویژگی مشابه دارند، یعنی فاصله بین آن‌ها کوچک است، حتی اگر متعلق به دو طبقه مختلف باشند، باز هم به عنوان نقاط نزدیک در نظر گرفته می‌شوند؛ به عبارت دیگر این تفکر، معنای هندسی ساختار مالتی‌منیفولد را حذف می‌کند. برای مقابله با این مشکل، الگوریتم‌های انتخاب همسایگی باناظر مانند S-Isomap [۷]، S-LE [۸]، S-LLE [۹] و S-NNG [۱۰] از اطلاعات برچسب طبقه برای هدایت نگاشت داده‌ی اصلی در فضای تعییه شده استفاده کردند. بیشتر روش‌های یادگیری مالتی‌منیفولد مانند SH-NGC [۱۱]، M-Isomap [۱۲]، MSGE [۱۳] و فرآیند پیشنهادشده در [۱۴] از فرم با ناظر انتخاب همسایگی استفاده می‌کنند. سؤال مهم این است: «در فقدان دانش پیشین، چگونه باید همسایگان هم‌طبقه را به دست آوریم؟» در این مقاله، رابطه‌ی میان اشیا را بدون استفاده از اطلاعات پیشین برچسب‌های طبقه کشف می‌کنیم. هدف در این مقاله حفظ فاصله پیمایشی^۱ میان اشیا در فرآیند انتخاب همسایگان است. بدون ناظر بودن روش پیشنهادی اهمیت زیادی در وظیفه‌ی انتخاب همسایگان دارد.

در این مقاله، روشی بدون ناظر برای کشف خودکار منیفولد هر شیء در بازناسی مالتی‌منیفولد چندمنظوری پیشنهاد می‌دهیم. در روش پیشنهادی تصاویر مربوط به هر شیء را به عنوان یک منیفولد‌طبقه نسبتاً مستقل تعریف می‌کنیم. راهکار پیشنهادی، برخلاف روش‌های یادگیری مالتی‌منیفولد معمول، مالتی‌منیفولد را با وجود اشتراکاتی میان منیفولد‌ها در یک چارچوب کاری تعییه گراف بدون ناظر یاد می‌گیرد. برای تعییه گراف داده چندمنظوری، روشی برای ساخت گراف مطلوب است که هم ساختار مالتی‌منیفولد چندمنظوری و هم اطلاعات متمایزکننده را منعکس کند؛ بنابراین، ما روشی جدید و بدون ناظر طراحی کردیم که نه تنها به طور صریح ساختار منیفولد طبقه چندمنظوری را حفظ کند، بلکه می‌تواند بین منیفولد محلی درون طبقه‌ای و اطلاعات متمایزکننده بروز طبقه‌ای، بدون استفاده از اطلاعات برچسب طبقه، تعادل برقار کند.

اکثر روش‌های یادگیری منیفولد تنها براساس داده‌های آموزشی موجود، تعییه منیفولد‌ها را محاسبه می‌کنند. در روش‌های یادگیری منیفولد تابع نگاشت ویژگی غیرخطی صریحی^۲ برای انتقال ویژگی‌ها از فضای اصلی به فضای با ابعاد کمتر تعیین نمی‌شود. این

منیفولد قرار می‌گیرد؛ اما در برنامه‌های کاربردی دنیای واقعی، داده‌های هر طبقه بر روی یک منیفولد مستقل قرار دارد. یادگیری مالتی‌منیفولد هنگامی که اشتراک‌هایی میان منیفولد‌ها وجود دارد پیچیده‌تر می‌شود، مثل وظیفه‌ی بازناسی تصاویر چندمنظوری^۳ [۱]. به طور کلی، یادگیری چندمنظوری یکی از مسائل یادگیری ماشین است که در آن داده توسعه چندین مجموعه ویژگی مجزا نمایش داده می‌شود [۲، ۳]. در این مقاله، به نمایش‌های ناهمگون از یک شیء تمرکز نشده؛ بلکه، به چگونگی استفاده از اطلاعات متمایزکننده برای بهبود بازناسی تصاویر چندمنظوری می‌پردازیم که نمایش‌های همگن از یک شیء با زوایای دید مختلف وجود دارد. در یادگیری چندمنظوری که مشکلات مربوط به وجود تصاویر متفاوت از یک شیء در زوایای دید متفاوت است، یک طبقه^۴ از تصاویر عموماً شامل تصاویر با زوایای دید مختلف است که ممکن است شباهت کمی داشته باشند. از طرف دیگر، تصاویر در طبقه‌های دیگر با همان زاویه دید می‌توانند بسیار شبیه باشند؛ بنابراین، روش‌های یادگیری مبتنی بر گراف تحت تأثیر مشکل ناسازگاری^۵ طبقه‌ها قرار می‌گیرند.

یادگیری چندمنظوری یکی از موضوعات مهم برای کاربردهایی مثل بازناسی چهره^۶ و تشخیص عمل^۷ است. به عنوان مثال در بازناسی چهره، همان‌طور که در شکل ۱ نشان داده شده است، فاصله بین دو چهره از رویه‌روی دو فرد مختلف کمتر از فاصله بین تصویر از رویه‌رو و تصویر از پهلوی یک فرد است. توانایی انطباق چندین زاویه دید از یک شیء^۸ برای یادگیری چندمنظوری ضروری است. در یادگیری چندمنظوری، انتخاب همسایه‌های صحیح به ایجاد یک گراف همسایگی قابل اعتماد منجر می‌شود.

تفاوت اصلی میان الگوریتم‌های یادگیری منیفولد معمول مانند LLE، Isomap [۸] و LE [۵] و سایر روش‌های کاهش بُعد غیرخطی مانند Kernel PCA [۴] و SPCA [۵]، ویژگی حفظ‌کننده ساختار در نگاشت الگوریتم‌های یادگیری منیفولد است.



شکل ۱: سه تصویر انتخاب شده از پایگاه داده چهره PEAL [۶]. (الف) تصویر از روی یک فرد که از او خواسته شده به پایین نگاه کند. (ب) و (ج) تصویر از رویه‌رو و از پهلوی فرد دیگر. اگر فاصله‌ی اقلیدسی بین تصاویر را اندازه‌گیری کنیم، تصویر (الف) و (ب) شبیه‌تر از (ب) و (ج) است.

Archive of SID

مالتیمنیفولد استفاده شد. در روش‌ها بررسی شده به رابطه‌ی میان منظره‌ای مشابه در طبقه‌های مختلف اشاره‌ای نشد. در جدول ۱ به بررسی رویکرد مسئله و ضعف هر روش می‌پردازیم.

MSGE قطعه‌های منیفولد-مودال (MMF) را برای هر طبقه تعریف می‌کند. با در نظر گرفتن رابطه‌ی میان منیفولد-مودال و منیفولد-طبقه، ساختار گراف را برای مسئله‌ی طبقه‌بندی تصویر چندمنظوری تعیین می‌کند. در ساخت گراف همسایگی MSGE سه مرحله‌ی MMF‌ها با استفاده از روش اصلی وجود دارد. ۱. اتصال رئوس درون یک طبقه برای ایجاد گراف k -NN. ۲. اتصال زوج MMF‌های درون یک طبقه برای ایجاد گراف متصل با محدودیت نزدیک‌ترین رئوس همسایه در زوج MMF‌های مختلف. ۳. اتصال نزدیک‌ترین رئوس همسایه از طبقه‌های مختلف و مودالیتی مشابه تا زمانی که اتصالی بین هر زوج MMF مشابه بین طبقه‌های مختلف ایجاد شود. معیار (۱) به فشردگی درون ساختار MMF کمک می‌کند و ویژگی‌های محلی منیفولد را حفظ می‌کند. معیار (۲) به حفظ همنوع بودن بین MMF‌ها کمک می‌کند و هر طبقه را فشرده کند. معیار (۳) به تفکیک ساختار هندسی منیفولددهای مودال و به دست آوردن زیر فضای افتراقی‌تر کمک می‌کند.

هدف اصلی در روش‌های یادگیری منیفولد کشف ساختار تعییه منیفولدها با ابعاد کمتر از نقاط داده‌ی با ابعاد بالا است، به طوری که روابط میان نقاط داده حفظ شود. معمولاً چنین تعییه‌هایی برای مصورسازی استفاده می‌شود. این روش‌ها، تابع نگاشت صریحی بین فضای با ابعاد بالا و فضای با ابعاد پایین، که به آن توسعه «خارج از نمونه» گفته می‌شود، فراهم نمی‌کنند. بنابراین تحقیقاتی برای یافتن روش‌هایی به منظور توسعه یادگیری منیفولد برای مدیریت نمونه جدید آغاز شده است. برخی از محققان مشکل توسعه «خارج از نمونه» را به عنوان یک مشکل رگرسیون غیرخطی خالص در نظر گرفتند که مورد توجه محققان قرار نگرفت. بنجیو و همکاران [۱۹] از روشی مبتنی بر نمونه‌برداری Nystrom برای نقطه دلخواه استفاده کرد. ونگا و ژاؤ [۲۰] از شبکه رگرسیون تعییم یافته برای یادگیری نگاشت استفاده کرد. یانگ و همکاران [۲۱] از شبکه‌های عصبی پس انتشار (BP) استفاده شد. این روش‌ها با پیدا کردن همسایه‌های نزدیک در مجموعه داده اصلی و درون‌یابی مختصات تعییشده، به محاسبه مختصات تعییه‌ی نقاط جدید می‌پردازند. DSPP [۲۲] نگاشتی غیرخطی و صریح برای برآوردهای خارج از داده فراهم می‌کند. DSPP با استفاده از رابطه‌ی کلی رگرسیون تنظیم‌شده تلاش می‌کند تا نمایش کاهش بُعد ساخته شده با نقاط و برچسب‌های شناخته شده داده را حفظ کند و در عین حال پیچیدگی‌را در فضای محیطی و نیز همواری‌را در حفظ نمایش

انتقال باید با استفاده از روش‌های درون‌یابی غیرخطی مثل شبکه رگرسیون تعییم یافته^{۱۳} یاد گرفته شود. در حالی که تعییم تعییه برای داده‌ی جدید خارج از داده آموزشی که به آن مشکل توسعه «خارج از نمونه»^{۱۴} گفته می‌شود، در کاربردهای بازناسی مهم است.

هدف در روش پیشنهادی، طبقه‌بندی بدون ناظر تصاویر چندمنظوری در منیفولدهای مستقل و سپس حل مسئله‌ی بازناسی آن‌ها است. در روش پیشنهادی برای ایجاد گراف همسایگی هر طبقه، تصاویر از منظره‌ای مختلف مربوط یک شیء را به مکان‌های نزدیک هم و تصاویر اشیا دیگر را به مکان‌های دور از آن نگاشت می‌دهیم. سپس به هر منیفولد-طبقه‌ی شناسایی شده، شماره برجسب منحصر به‌فردی اختصاص می‌دهیم. بنابراین در مرحله‌ی بازناسی می‌توان به صورت باناظر عمل کرد. برای بازناسی تصویر آزمون، یک نگاشت کاهش بُعد غیرخطی باناظر و تنظیم شده^{۱۵} صریح از داده‌های در فضای با ابعاد بالا به داده‌های در فضای کم بُعد ارائه می‌دهیم. در اینجا، نوآوری‌های مقاله را فهرست وار بیان می‌کنیم:

- ایجاد بدون ناظر گراف همسایگی مالتیمنیفولد

چندمنظوری

- ارائه نگاشت صریح و تنظیم شده باناظر برای کاهش بُعد غیرخطی

ادامه‌ی مقاله به صورت زیر سازماندهی شده است. در بخش ۲ کارهای پیشین مورد بررسی قرار خواهد گرفت. در بخش سوم روش پیشنهادی با جزئیات بیان می‌شود. در بخش چهارم نتایج عملی در رابطه با روش پیشنهادی و نیز مقایسه آن‌ها با روش‌های پیشین مورد بحث قرار می‌گیرد و در بخش نهایی به نتیجه‌گیری پرداخته شده است.

۲- کارهای پیشین

تحت فرض مالتیمنیفولد چندمنظوری، ضروری است که ساختار مالتیمنیفولد را با اشتراکات ممکن آن در یک گراف مناسب ترکیب کنیم، به‌طوری که نقاط داده‌ی غیر هم‌طبقه با منظره‌های مشابه تا حد امکان از هم دور شوند و نقاط داده‌ی هم‌طبقه با منظره‌ای متفاوت تا حد امکان به هم نزدیک شوند.

برخی روش‌های تعییه گراف مثل LDE [۱۵]، LFDA [۱۶]، CGE [۱۷] و LSDA [۱۸] برای یادگیری زیر فضاهای متمایز‌کننده پیشنهاد شده‌اند. در M-Isomap و MM-LLE از اطلاعات متمایز‌کننده برچسب طبقه برای یادگیری

Archive of SID

دید مختلف باشد؛ بنابراین، برخی از منیفولدهای افراد ممکن است ادغام شوند یا نزدیک به یکدیگر باشند که منجر به مخلوط شدن همسایگان از منیفولدهای مختلف می شود.

ما چندین مجموعه از تصاویر اشیا مختلف داریم که هر مجموعه از تصاویر روی یک منیفولد غیرخطی قرار می گیرد. ما قصد داریم یک نمایش تعبیه شده مفید از این داده ها را بیابیم. در یادگیری مالتی منیفولد چندمنظری، ما انتظار داریم یک توصیف کلی از منیفولد هر طبقه بیابیم. براساس اصل کلیدی در یادگیری منیفولد، هر نقطه روی منیفولد می تواند توسط ترکیب خطی همسایگان هم طبقه اش تقریب زده شود. متأسفانه، مجموعه

همسایگان ایده آل ناشناخته است و اگر ما چندین منیفولد که دارای اشتراک هستند در اختیار داشته باشیم، انتخاب یک همسایگی مناسب کار آسانی نیست. سه موضوع مهم در انتخاب همسایگان هم طبقه برای یادگیری مالتی منیفولد چندمنظری وجود دارد.

اول، انتخاب همسایگان بدون ناظر که در اکثر روش های یادگیری منیفولد بررسی شده است مثل LLE و Isomap مشکلاتی را در برخورد با داده های با چندین طبقه نشان می دهند. روش های یادگیری منیفولد باناظر پیشنهاد شده، بر مشکلات روش های یادگیری منیفولد بدون ناظر موجود غلبه می کنند. با این حال، برچسب گذاری وظیفه ای مشکل و هزینه بر است. ما داده های بدون برچسب زیادی از طبقه های مختلف و زوایای دید متفاوت داریم. روش های مالتی منیفولد که هسته آنها معمولاً یک روش یادگیری منیفولد باناظر است، قادر به کار با این داده ها نیستند. در رویکرد ما برای حل این محدودیت، یافتن همسایگان معنایی پیشنهاد شد. برای این منظور به ارتباط میان منظره اها در تصاویر هر فرد در طول چرخه دید تأکید می کنیم.

داده تُنک در نظر بگیرد. Reg-S3DR [۲۳] روش کاهش بعد خطی و نیمه ناظری را با استفاده از اطلاعات طبقه و برای ساخت نگاشت DSPP کاهش بعد پیشنهاد می دهد. Reg-S3DR مشابه روش DSPP، از مدل رگرسیون تنظیم شده استفاده می کند. برای اینکه جملات تنظیم کننده متمایز کننده تر باشند، تنظیم کننده با استفاده از ساختار هندسی داده منیفولد و نیز اطلاعات برچسب تعریف شد.

۳- روش پیشنهادی

در این بخش، ما به رویکرد انتخاب کارای منیفولد متناظر با هر طبقه می پردازیم. برای کشف منیفولد هر طبقه ما به انتخاب یکنواخت همسایگان هم طبقه از تمام زوایای دید موجود می پردازیم. ما ابتدا به بیان مسئله طبقه بندی بدون ناظر مالتی منیفولد چندمنظری می پردازیم. پس از کشف هر منیفولد طبقه، برچسب منحصر به فردی به آن اختصاص می دهیم. سپس روش تنظیم شده و با ناظر پیشنهادی را برای نگاشت صریح تصاویر در فضای با ابعاد بالا به نمایش کم بعد ارائه می دهیم.

۴-۱- بیان مسئله و ایده هی ما

فرض کنید که n شیء داریم و هر شیء با m تصویر از زوایای دید مختلف نمایش داده شده است. این داده ها دو هدف متفاوت را نشان می دهند: طبقه می تغیر و زاویه های دید می تغیر. تمام تصاویر در هر طبقه به عنوان یک منیفولد-طبقه در نظر گرفته می شود. در برنامه های کاربردی مانند تشخیص چهره، هدف این است که تعبیه منیفولد فرد با تغییرات در زاویه دید یادگرفته شود. اگر همه هی تصاویر را در یک مجموعه قرار داده و سعی کنیم آنها را با استفاده از روش یادگیری مالتی منیفولد تعبیه کنیم، قادر نخواهیم بود تعبیه معناداری را به دست آوریم؛ زیرا ممکن است فاصله بین دو فرد مجزا در برخی از زوایای دید کوچک تر از فاصله بین یک فرد در زوایای

جدول ۱: بررسی برخی از روش های پیشین یادگیری مالتی منیفولد

	بنا ناظر/بدون ناظر	رویکرد حل مسئله
ضعف		
۱. عدم توجه به اطلاعات متمایز کننده سراسری ۲. عدم توجه به رابطه میان منظره اهای مشابه در طبقه های مختلف	ساخت گراف های درون طبقه ای و برون طبقه ای با k-NN استفاده از	بدون ناظر LDE
۱. ساختار گراف ایجاد شده اطلاعات متمایز کننده بین طبقه ای را نادیده می گیرد. ۲. عدم توجه به رابطه میان منظره اهای مشابه در طبقه های مختلف	ترکیب خطی ماتریس وزن محلی و ساخت ماتریس وزن برای به دست آوردن مدل زیرفرا	بدون ناظر CGE
۱. تعداد اتصالات بین طبقه ای افزایش می یابد، نمی تواند به طور کارا ساختار هندسی محلی را حفظ کند. ۲. عدم توجه به رابطه میان منظره اهای مشابه در طبقه های مختلف	ایجاد گراف بین طبقه ای با اتصال کامل	بدون ناظر LFDA
۱. تمرکز به افزایش فواصل محلی میان نقاط درون طبقه ای و عدم توجه به جدایی بین طبقه ای ۲. عدم توجه به رابطه میان منظره اهای مشابه در طبقه های مختلف	مبتنی بر ساخت گراف اصلی و گراف جریمه	با ناظر M-Isomap
۱. عدم توجه به رابطه میان منظره اهای مشابه در طبقه های مختلف	استفاده از SLLE در مرحله ساخت گراف همسایگی در LLE	با ناظر MM-LLE
۱. استفاده از k-NN در ساخت قطعه منیفولد-مودال و ایجاد ارتباط بین قطعه ها	مبتنی بر ساخت قطعه های منیفولد-مودال معیار جامعی برای انتخاب تصاویر هم منظر نیست.	با ناظر MSGE

می توان نتیجه گرفت که شکل ۳ (۵) نسبت به تصویر (الف) کاندید بهتری برای همسایگی تصویر (ب) است.



شکل ۳ : چهار نمونه از مجموعه داده‌ی CAS-PEAL [۶]

در اینجا ما «قطعه منیفولد-منظر» را به عنوان بخشی از منیفولد هر طبقه که دارای منظر مشابه هستند، تعریف می‌کنیم. با در نظر گرفتن رابطه‌ی بین قطعه‌های منیفولد-منظر، ساختار گراف مناسب را برای بازناسی تصاویر چندمنظري ارائه می‌دهیم. با بیان رسمی‌تر، ما دو مرحله زیر را برای ساخت گراف متمایزکننده مالتی منیفولد داریم:

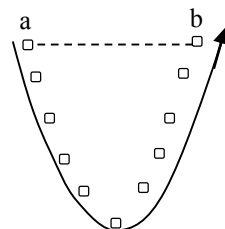
أ. اتصال k شیء با منظر مشابه درون قطعه منیفولد-منظر با توجه به خاصیت تعدی در شباهت اشیا.

ب. اتصال جفت قطعه‌های منیفولد-منظر درون هر طبقه به عنوان گراف متصل با این محدودیت که نزدیک‌ترین جفت رئوس در قطعه‌های منیفولد-منظری که میانگین فاصله میان عناصر آنها حداقل است، بهم متصل شوند.

معیار (أ) کمک می‌کند فشردگی ساختار هر قطعه منیفولد-منظر و در نتیجه ویژگی‌های ذاتی منیفولد محلی حفظ شود. معیار (ب) به حفظ هم‌طبقه بودن قطعه‌های منیفولد-منظر متصل شده و ایجاد یک طبقه فشرده کمک می‌کند.

پس از اینکه توانستیم در رفتاری بدون ناظر مجموعه نقاط داده‌ی هر طبقه را در فضای مالتی منیفولد چندمنظري بیابیم، نیاز است نمونه داده‌هایی که در فضای با ابعاد بالا قرار دارند را به فضای با ابعاد کمتر نگاشت دهیم. این نگاشت باید ساختار میان نمونه داده‌ها را حفظ کند و نیز امکان تفکیک‌پذیری را در تعییه یادگرفته شده افزایش دهد. اکثر روش‌های یادگیری منیفولد، تعییه منیفولد را با توجه به نقاط داده آموزشی اولیه محاسبه می‌کنند؛ بنابراین تعیین تعییه برای نقاط جدید که به عنوان مشکل توسعه خارج از نمونه شناخته می‌شوند، در کاربردهای طبقه‌بندی و بازناسی مورد توجه قرار گرفته است. در این مقاله از مدل رگرسیون تنظیم‌شده‌ی باناظر برای حل مسئله توسعه خارج از نمونه بهره برده‌ایم. شکل ۴ مراحل کلی حل مسئله را نشان می‌دهد.

دوم، در حالت کلی گراف همسایگی براساس روابط محلی اشیا ساخته می‌شود؛ اما دو شیء که فاصله‌ی اقلیدسی کوچکی دارند ممکن است فاصله‌ی پیمایشی بزرگی داشته باشند. در این حالت اگر دو شیء را بر اساس فاصله‌ی اقلیدسی کوتاه میان آن‌ها به هم متصل کنیم، ممکن است توپولوژی سراسری میان نقاط را از دست بدھیم. این وضعیت عموماً هنگامی رخ می‌دهد که نقاط روی منیفولد پیچ‌دار قرار دارند. این وضعیت در شکل ۲ نشان داده شد. شکل ۲ نشان می‌دهد که تفاوت زیادی بین فاصله‌ی پیمایشی و فاصله اقلیدسی برای ساخت گراف همسایگی برای داده‌ی روی منیفولد وجود دارد.



شکل ۲ : بخشی از منیفولد یک بعدی. خط تیره‌ها فاصله‌ی اقلیدسی بین a و b را نشان می‌دهد. خط پرنگ فاصله‌ی پیمایشی بین a و b را نشان می‌دهد.

سوم، در مجموعه داده‌های مالتی منیفولد چندمنظري ممکن است اشیا در برخی منظرها، همسایگان محلی از طبقه‌های مختلف داشته باشند. حال سؤالی که مطرح می‌شود این است: چگونه همسایگان غیر هم‌طبقه که از منظر مشابه تصویربرداری شدند را از میان همسایگان انتخاب شده برای یک شیء حذف کنیم؟ در راهکار ما برای حل این محدودیت، رابطه‌ی پنهان میان اشیا روی گراف‌های همسایگی در نظر گرفته شد. ایده‌ی پیشنهادی ما از این فرض ناشی می‌شود که شباهت میان اشیا خاصیت تعدی دارد؛ یعنی، هنگامی که دو شیء توسط دنباله‌ای از اشیا واسطه با فواصل کوچک بهم متصل شده‌اند ممکن است به عنوان اشیا مشابه در نظر گرفته شوند [۱۳، ۲۴]. برای توضیح بیشتر از شکل ۳ استفاده می‌کنیم.

همان‌طور که در شکل ۳ می‌توان دید، شکل ۳ (الف) و (ب) تصویر چهره‌ی دو فرد مختلف را از یک منظر نشان می‌دهد و شکل ۳ (ب) تا (۵) چهار تصویر چهره از منظر مختلف یک فرد را نشان می‌دهد. اگر فاصله‌ی بین تصویر (الف) و (ب)، و فاصله‌ی بین (ب) و (c) را محاسبه کنیم، می‌توان دید که فاصله‌ی بین (الف) و (ب) کمتر از (ب) و (c) است. اما از طرف دیگر، فاصله‌ی بین (ب) و (ج)، و نیز (ج) و (d)، و همچنین (d) و (e) کمتر از فاصله‌ی (الف) و (ب) است. بر اساس این واقعیت که شباهت میان اشیا خاصیت تعدی دارد،

Archive of SID

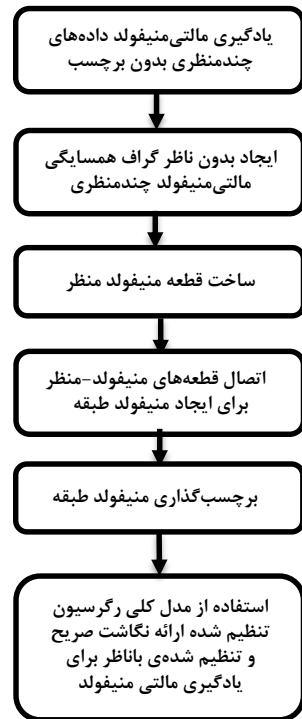
پیمایشی آن‌ها کم نیست؛ بنابراین ما نیاز به تعریف جدیدی برای محاسبه‌ی فاصله‌ی میان نقاط داده روی چندین منیفولد داریم. در تعریف فاصله‌ی جدید، بدون استفاده از اطلاعات برچسب، باید بتوانیم نه تنها همسایگان محلی و هم‌طبقه، بلکه همسایگان هم‌طبقه‌ای که در ناحیه‌ی اطراف شیء قرار ندارند را نیز بیابیم. برای حفظ معنای هندسی میان کل نمونه داده‌ها توجه به همبستگی میان تمام نقاط داده پیشنهاد شد. هدف از روش پیشنهادی تمرکز روی معنای هندسی ساختار منیفولد در ساخت قطعه منیفولد-منظور در فضای مالتی‌منیفولد است. ایده‌ی اصلی در روش پیشنهادی از این واقعیت ناشی می‌شود که دو شیء هنگامی که همسایگان مشترکی دارند، ممکن است به عنوان همسایه شناخته شوند.

برای یافتن k نزدیک‌ترین همسایه‌ی معنایی شیء، ابتدا k نزدیک‌ترین همسایه‌ی اقلیدسی شیء x_i را با استفاده از روش N -نتخاب می‌کنیم. فهرست همسایگان انتخاب شده با $(N(x_i))$ و N انتخاب می‌کنیم. فهرست همسایگان انتخاب شده با (x_i) نشان داده شد و فاصله‌ی اقلیدسی تا نمونه‌های کاندید با $D(x_i)$ نشان داده شد و به صورت نزولی مرتب شد. برای بهینه‌سازی همسایگان انتخاب شده، زامین عضو از $(N(x_i))$ که با x_{ij} نشان داده را انتخاب می‌کنیم، که $x_{ij} \leq j \leq k$. سپس فاصله‌ی بین x_i تا همسایگان x_{ij} که با $D(x_i: x_{ij}) + D(x_{ij}: x_{ijp})$ نشان داده شده را محاسبه می‌کنیم، یعنی $D(x_i: x_{ij}) + D(x_{ij}: x_{ijp})$. در صورتی که یکی از دو شرط زیر صحیح باشد فهرست همسایگی و فهرست فاصله را بروز رسانی و به صورت نزولی مرتب می‌کنیم.

۱) آیا $D(x_i: x_{ij}) + D(x_{ij}: x_{ijp})$ کوچک‌تر از β^{th} -نزدیک‌ترین همسایه به x_i در $N(x_i)$ است؟

۲) آیا $D(x_i: x_{ijp})$ کوچک‌تر از $D(x_i: x_{ijk})$ است که x_{ijk} دورترین همسایه است؟

اگر حداقل یکی از شروط بالا برقرار باشد، دورترین همسایه در $N(x_i)$ حذف و x_{ijp} در فهرست قرار می‌گیرد و فهرست به صورت نزولی مرتب خواهد شد. تصاویری که در یک قطعه منیفولد-منظور قرار گرفته از ادامه‌ی روند انتخاب قطعه‌های منیفولد-منظور خارج می‌شوند. این کار به صورت سلسه مراتبی فضای جستجو را کاهش می‌دهد و منجر به کاهش زمان جستجو می‌شود. مقدار β وابسته به مجموعه داده است. هنگامی که همسایگان هم‌طبقه به طور محلی در اطراف تصویر جستجو قرار ندارد، روش پیشنهادی مزیت خود را بیشتر نشان می‌دهد. با تنظیم مقدار β می‌توان بین فاصله‌ی اقلیدسی مستقیم میان نمونه‌ها و فاصله‌ی پیمایشی با واسطه تعادل برقرار کنیم. با استفاده از روش پیشنهادی می‌توان علاوه بر



شکل ۴ : مراحل کلی الگوریتم پیشنهادی برای ارائه نگاشت صریح و تنظیم شده‌ی با ناظر برای یادگیری مالتی‌منیفولد داده‌های چندمنظوری بدون برچسب

۳-۲-۳- ایجاد بدون ناظر گراف همسایگی مالتی‌منیفولد چندمنظوری

در این بخش از روش پیشنهادی، نه تنها قصد داریم نمونه‌های هم‌طبقه را بیابیم، بلکه قصد داریم بر مشکل نمونه‌های غیر هم‌طبقه با منظر مشابه نیز غلبه کنیم. جزئیات ساخت منیفولد هر طبقه به صورت زیر است.

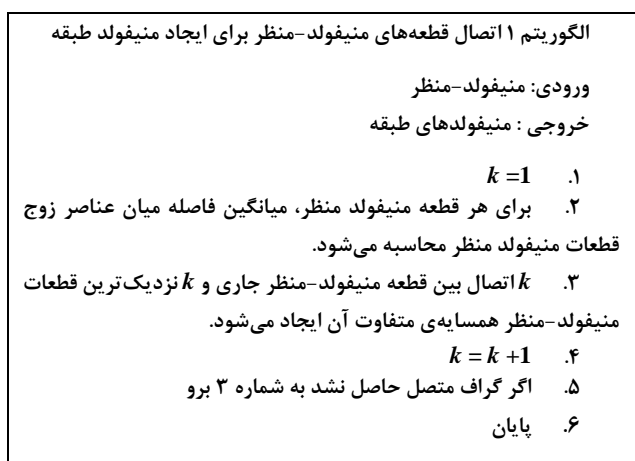
برای ساخت آمین قطعه منیفولد-منظور با رفتاری بدون ناظر، از k نزدیک‌ترین همسایه‌ی شیء استفاده می‌کنیم. در روش پیشنهادی به جای انتخاب همسایگان اقلیدسی شیء از همسایگان معنایی آن استفاده می‌کنیم. استفاده از همسایگان اقلیدسی برای ساخت قطعه منیفولد-منظور دو مشکل را به همراه دارد.

اول، هنگامی که فاصله‌ی اقلیدسی بین دو شیء کم است، همیشه نمی‌توان نتیجه گرفت که فاصله‌ی پیمایشی بین آن‌ها روی منیفولد نیز کم است [۱۳].

دوم، انتخاب همسایگان تنها از ناحیه‌ی محلی اطراف یک شیء می‌تواند معنای هندسی توزیع کلی نقاط داده را نادیده بگیرد. چنین راهکاری تعییه داده‌هایی مثل چهره که روی چندین منیفولد قرار می‌گیرند را نادیده می‌گیرد. هنگامی که دو منیفولد نزدیک به هم داریم، دو شیء غیر هم‌طبقه با منظر مشابه که روی دو منیفولد قرار دارند، ممکن است فاصله‌ی اقلیدسی کمی داشته باشند، اما فاصله‌ی

Archive of SID

کردن تأثیر همنظر بودن بر روی شباهت میان تصاویر از طبقه‌های مختلف، از میانگین فاصله‌ی میان عناصر زوج قطعات منیفولد-منظر استفاده شد. جزئیات روش پیشنهادی در شکل ۶ بیان شده است.



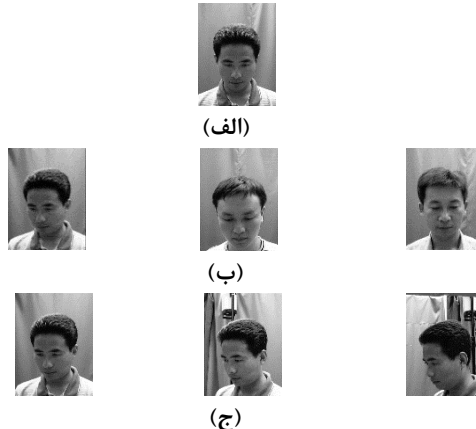
شکل ۶ : روش پیشنهادی برای ایجاد منیفولد-طبقه

شکل ۷ نحوه‌ی اتصال قطعات منیفولد منظر را نشان می‌دهد. شکل ۷(الف) تعدادی از قطعه‌ی منیفولد-منظر متناظر با دو فرد را نمایش می‌دهد. شکل ۷(ب) اتصال قطعات منیفولد-منظر را با $k=2$ نشان می‌دهد. نکته مهم در روش پیشنهادی این است که حتماً بین هر دو قطعه‌ی منیفولد-منظر، به‌طور مستقیم یا غیرمستقیم، ارتباطی وجود دارد. به خاطر وجود خاصیت تعدی در شباهت میان قطعه‌های منیفولد-منظر، میانگین فاصله عناصر قطعه منیفولد-منظر هم‌طبقه مقدار کمتری نسبت به عناصر قطعه منیفولد-منظرهای غیر هم‌طبقه خواهد داشت؛ بنابراین می‌توان منیفولد طبقه را بدون داشتن اطلاعات برچسب طبقه به‌دست آورد. پس از یافتن دو قطعه منیفولد-منظر با کمترین میانگین فاصله میان عناصر آنها، نزدیک‌ترین تصاویر آنها را به‌هم متصل می‌کنیم. حال می‌توان به هر منیفولد طبقه یک شماره اختصاصی نسبت دهیم و مرحله‌ی ارائه نگاشت صریح و تنظیم‌شده برای کاهش بُعد غیرخطی را به‌صورت باناظر انجام دهیم.

پس از ایجاد گراف همسایگی برای تعیین منیفولد‌های طبقه می‌توانیم، منیفولدها را برچسب‌گذاری کنیم. برای برچسب‌گذاری منیفولدهای هر طبقه از روش پیشنهادی در [۲۳] استفاده شد. در این شیوه از برچسب‌گذاری، برای هر منیفولد طبقه یک بردار تصادفی d بُعدی که عناصر آن در بازه‌ی $[۰, ۱]$ است به‌عنوان برچسب در نظر می‌گیریم. در [۲۳] اثبات شد که احتمال اینکه بردارهای برچسب دور از هم قرار بگیرند بسیار بالا است. به تمام تصاویر انتخاب شده روی یک منیفولد، یک بردار برچسب مشترک اختصاص داده می‌شود.

جستجوی محلی اطراف تصویر پرس‌وجو، میان نمونه داده‌هایی که در گراف به‌طور مستقیم به تصویر پرس‌وجو متصل نشده‌اند نیز کاوش کرد.

شکل ۵ مراحل انتخاب قطعه منیفولد-منظر براساس روش پیشنهادی را برای یکی از تصاویر در پایگاه داده‌ی CAS-PEAL نشان می‌دهد. شکل ۵(الف) تصویری است که تصمیم داریم همسایگان هم‌طبقه و با منظر مشابه آن را بیابیم. نتیجه‌ی انتخاب ۳-نزدیک‌ترین همسایه یک فرد نمونه در شکل ۵(ب) نشان داده شده است. شکل ۵(ج) نتیجه‌ی بهینه‌سازی همسایگان با روش پیشنهادی را نشان می‌دهد.



شکل ۵ : انتخاب قطعه منیفولد-منظر براساس روش پیشنهادی. (الف) یک نمونه تصویر از مجموعه داده‌ی CAS-PEAL. (ب) انتخاب ۳ نزدیک‌ترین همسایه با روش k -NN. (ج) بهینه‌سازی همسایگان انتخاب شده با استفاده از روش پیشنهادی

پس از یافتن مجموعه قطعه‌های منیفولد-منظر به‌عنوان واحدهای مستقل اطلاعاتی، قصد داریم با اتصال قطعات منیفولد-منظر هم‌طبقه، منیفولد طبقه‌ی هر شخص که شامل تصاویر یک فرد از منظرهای مختلف است را بیابیم. یادآوری می‌کنیم که در فاز اول روش پیشنهادی اطلاعات برچسب در اختیار نیست.

مشکل در اتصال بدون ناظر تصاویر هم‌منظر این است که تصاویر هم‌منظر از طبقه‌های مختلف شباهت بیشتری نسبت به تصاویر هم‌طبقه با منظرهای مختلف دارند [۱]. اگرچه فاصله‌ی میان تصاویر هم‌منظر از طبقه‌های مختلف کم است اما فاصله‌ی میان تصاویر از طبقات مختلف با منظرهای غیرمشابه، حتی با اندکی تفاوت، زیاد است. با توجه به اینکه در مجموعه داده آزمون از هر منظر تصویر تعداد کمی تصویر وجود دارد، مشخص است که در یک منیفولد-منظر کشف شده تصاویر از نظر زاویه دید منظر اندکی متفاوت هستند. در روش پیشنهادی از این تفاوت برای اتصال قطعه‌های منیفولد-منظر به‌صورت یک گراف متصل استفاده کردیم. برای کم

Archive of SID

مدل هستند که مقدار آنها باید انتخاب شود. افزایش پارامتر تنظیم بیش برآش را کاهش می دهد. این کار با اضافه کردن بایاس به تخمین انجام می شود. روشی که در این مقاله برای انتخاب مقادیر پارامترهای تنظیم استفاده شد، انتخاب تصادفی زیرمجموعه ای از داده ها و بررسی واریانس تخمین است. سپس مقدار پارامترها را افزایش داده و تأثیر آن را بر تغییرات تخمین در نظر می گیریم. به یاد داشته باشید که مقدار پارامترها متناسب با زیرمجموعه ای است که انتخاب شده است. با احتمال بالا می توان از مقادیر کوچکتر برای رسیدن به مقادیر قابل مقایسه در مجموعه داده کامل استفاده کرد. در این مقاله برای پارامترهای تنظیم مقادیر مساوی $0, 1, 0.5$ برای مجموعه داده COIL-20 و CAS-PEAL و مقدار 0.05 برای مجموعه داده FEI در نظر گرفته شد. $i = 1, \dots, l$.
 $y_i \in R^d, i = 1, \dots, l$

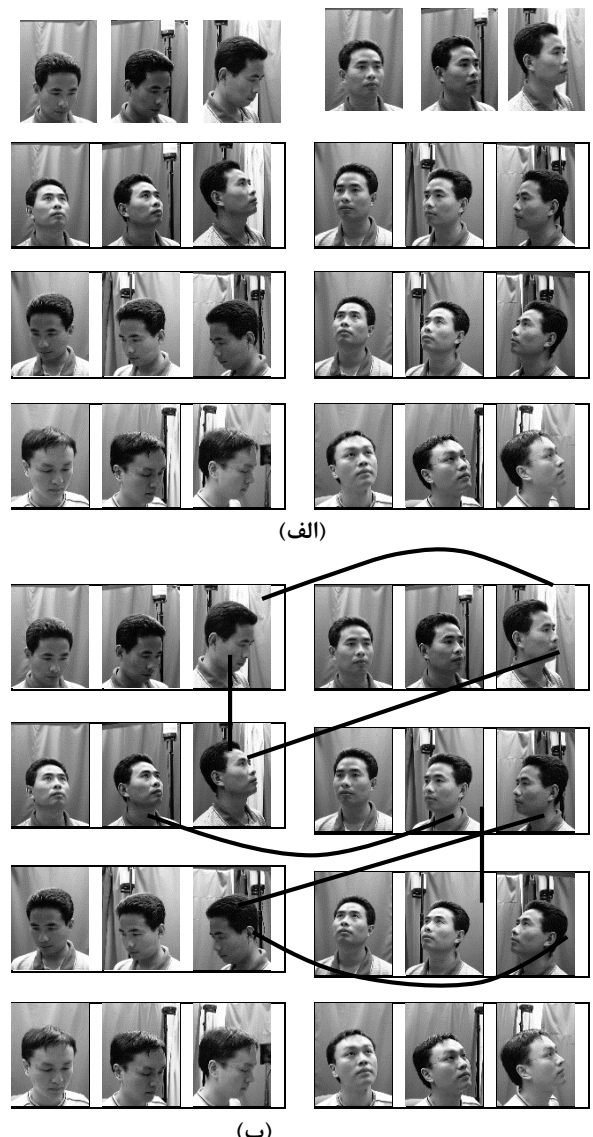
نمایش کاهش بُعد یافته را نشان می دهد که در مرحله قبل اختصاص داده شد. l تعداد تصاویر موجود در پایگاه داده است. از آنجایی که به تمام نقاط داده شد، نمایش کاهش بُعد یافته نقاط برچسب d بُعدی نسبت داده شد، نمایش کاهش بُعد یافته نقاط هم طبقه تا حد ممکن بهم نزدیک می شود و از آنجایی که بردار برچسب برای هر طبقه به صورت تصادفی انتخاب شد، نمایش کم بُعد از طبقه های مختلف تا حد ممکن از هم دور می شوند.

در تعمیم یک تعییه، تمایل داریم مختصات داده های آموزشی یاد گرفته شده را حفظ کنیم، $y_i = \phi(x_i)$. بنابراین تابع زیان را به صورت $\sum_{i=1}^l \|\phi(x_i) - y_i\|_2^2$ تعریف می کنیم. بنابراین نیاز به تابع هسته ای داریم که باعث شود بتوانیم داده اصلی با ابعاد D را با داده کاهش بُعد یافته d قیاس کنیم. برای عرفی تابع هسته، از فرض اصلی در منیفولد که هر نقطه را می توان از تقریب خطی همسایگانش به دست آورد، استفاده کردیم. برای این هدف پیشنهاد می کنیم هر نقطه را با بردار ویژگی d بُعدی که با استفاده از نقاط همسایه آن خواهیم ساخت، جایگزین کنیم. اگر $N(x_i)$ مجموعه k -نزدیکترین همسایه هم طبقه x_i را نشان دهد، بردار ویژگی یکه x_i به صورت زیر پیشنهاد می شود:

$$\phi(x_i) = \left| \frac{x_i - x_j}{\|x_i - x_k\|} \right|, \quad x_j \in N(x_i) \quad (2)$$

که k دورترین همسایه x_i است.

$\|F\|_k^2$ معیاری برای پیچیدگی نگاشت F است و $\|F\|_I^2$ توانایی F را در حفظ ساختار داده اندازه گیری می کند. براساس تئوری یادگیری آماری [۲۵, ۲۶]، تنظیم کننده $\|F\|_k^2$ معمولاً به عنوان نُرم تابع در فضای هیلبرت با هسته باز آفرین (RKHS) تعریف می شود. برای یک هسته مثبت نیمه معین (k, u, v) ، یک فضای هیلبرت با هسته باز آفرین H_k وجود دارد. هر تابع $f_s \in H_k$ می تواند به عنوان یک



شکل ۷ : روش پیشنهادی برای ساخت منیفولد-طبقه. (الف) تعدادی قطعه منیفولد-منظر استخراج شده با روش پیشنهادی از مجموعه داده CAS-PEAL. (ب) نحوه اتصال قطعه های منیفولد-منظر.

۳-۳- ارائه نگاشت صریح و تنظیم شده برای کاهش بُعد غیرخطی باناظر

در این بخش نگاشتی صریح و تنظیم شده برای کاهش بُعد غیرخطی باناظر پیشنهاد می دهیم. برای ارائه یک نگاشت کاهش بُعد با استفاده از مدل کلی رگرسیون تنظیم شده زیر را پیشنهاد می دهیم.

$$F^* = \arg \min_F \left\{ \frac{1}{l} \sum_{i=1}^l V(x_i, y_i, F) + \gamma_k \|F\|_k^2 + \gamma_I \|F\|_I^2 \right\} \quad (1)$$

که متغیر بهینه سازی نگاشت بردار $F: R^N \rightarrow R^d$ است. γ_k و γ_I دو پارامتر تنظیم کننده است. پارامترهای تنظیم یکی از ورودی های

Archive of SID

تئوری ۳-۱: [۲۷] حداقل کنندهٔ مسئلهٔ بهینه‌سازی (۷) به صورت زیر قابل توسعه است:

$$F^*(\emptyset) = \sum_{i=1}^N \alpha_i k(\emptyset_i, \emptyset) \quad (8)$$

که $\alpha_i = [\alpha_{1i}, \dots, \alpha_{di}]^T \in R^d$ بردار ویژگی ساخته شده با استفاده از فاصلهٔ پیمایشی و (۶) تابع هسته است. با جایگزینی روابط (۲) و (۷) در رابطهٔ (۶) خواهیم داشت:

$$\begin{aligned} A^* = \arg \min_{A \in R^{d \times N}} & \left\{ \frac{1}{l} \text{tr}((AKJ - Y)(AKL - Y)^T \right. \\ & \left. + \gamma_k \text{tr}(AKA^T) + \frac{\gamma_l}{2N^2} \text{tr}(AKLKA^T) \right\} \end{aligned} \quad (9)$$

که $A = [\alpha_{1i}, \dots, \alpha_{di}] \in R^{d \times N}$ ماتریس ضرایب برای توسعهٔ F . $K = (k(\emptyset_i, \emptyset_j)) \in R^{d \times N}$ ماتریس هدف، $Y = [y_1, \dots, y_l] \in R^{d \times N}$ ماتریس $L = S - W \in R^{N \times N}$ ماتریس $R^{N \times N}$ ماتریس هسته مثبت معین، $S \in R^{N \times N}$ ماتریس گراف لاپلاسین را نشان می‌دهد. $W = w_{ij} \in R^{N \times N}$ ماتریس S است، I ماتریس قطری است که عناصر قطر اصلی $w_{ii} = \sum_{j=1}^N w_{ij}$ است، J ماتریس همانی، و $AK \in R^{N \times N}$ ماتریس انتخاب قطری است ۱ عنصر اول قطر یک و بقیه عناصر قطر صفر است. از تابع هدف (۹) مشتق گرفته و برابر با مقدار صفر قرار می‌دهیم، به صورت زیر

$$\frac{1}{l} (Y - AKJ)(KJ)^T + \gamma_k AK + \frac{\gamma_l}{N^2} AKLK = 0 \quad (10)$$

رابطهٔ (۱۰) را به صورت زیر می‌توان بازنویسی کرد:

$$A \left(KJ - \gamma_k II - \frac{l}{N^2} \gamma_l KL \right) = Y \quad (11)$$

در نتیجه، کمترین مربع رابطهٔ (۱۱) به صورت زیر به دست می‌آید:

$$A^* = Y(KJ - \gamma_k II - \frac{\gamma_l}{N^2} KL) \quad (12)$$

بنابراین نگاشت کاهش بُعد موردنظر به صورت زیر به دست خواهد آمد:

$$Z = F^*(\emptyset) = \sum_{i=1}^N \alpha_i^* K(\emptyset_i, \emptyset) \quad (13)$$

که α_i^* آمین ستون از A^* است. در رابطهٔ بالا از هستهٔ خطی برای نگاشت کاهش بعد F استفاده شد، $k(u_i, u_j) = u_i^T u_j$. هر نقطهٔ x_i با بردار کم بُعدش $z_i = A\Phi^T \phi_i$ می‌توان نشان داد که $\Phi = [\phi_1, \dots, \phi_N]$ است.

۴- نتایج عملی

در این مقاله، دو گروه مختلف از آزمایش‌ها انجام شد. در گروه اول، نتایج ایجاد بدون ناظر گراف همسایگی مالتی‌منیفولد چندمنظیری

ترکیب خطی از توابع هسته $(.) f_s(u_i, .) = \sum_i \eta_i^s k(u_i, .)$ بیان کرد. برای نگاشت بردار $[f_1, \dots, f_d]^T$ را می‌توان به صورت زیر تعریف کرد:

$$\|F\|_k^2 = \sum_{s=1}^d \|f_s\|_k^2 = \sum_{s=1}^d \sum_{i,j} \eta_i^s \eta_j^s K(u_i, u_j) \quad (3)$$

برای متمایز‌کننده‌تر کردن F ، تنظیم کنندهٔ $\|F\|_I^2$ باید با استفاده از ساختار هندسی داده منیفولد و نیز اطلاعات برچسب تعریف شود.

برای این منظور، وزن بین نقاط داده به صورت زیر تعریف می‌شود:

$$w_{i,j} = \begin{cases} \kappa & \text{اگر } x_i \text{ و } x_j \text{ هم طبقه باشند} \\ -\kappa & \text{در غیر اینصورت} \end{cases} \quad (4)$$

برای تعریف وزن $w_{i,j}$ از دانش پیشین برچسب طبقه استفاده می‌کنیم و نشان می‌دهیم که آیا x_i و x_j هم طبقه هستند یا خیر. مقدار κ باید نسبتاً بزرگ انتخاب شود. در آزمایش‌های ما، مقدار κ به صورت تجربی چهار انتخاب شده است. نگاشت متمایز‌کننده باید به نحوی طراحی شود که اگر دو نقطهٔ هم طبقه به نقاط دور از هم نگاشت داده شوند و یا نقاط غیر هم طبقه به نقاط نزدیک به هم نگاشت داده شوند تابع هدف جریمه سنگینی را متحمل شود. یک راه حل منطقی برای یافتن نگاشت متمایز‌کننده، بهینه‌سازی تابع هدف زیر است:

$$\min \sum_{i=1}^N \sum_{j=1}^N w_{i,j} \|F(\phi(x_i)) - F(\phi(x_j))\|^2 \quad (5)$$

برای اساس می‌توان تنظیم کنندهٔ تابع $\|F\|_I^2$ را به صورت زیر تعریف نمود:

$$\|F\|_I^2 = \frac{1}{2N^2} \sum_{i=1}^N \sum_{j=1}^N w_{i,j} \|F(\phi(x_i)) - F(\phi(x_j))\|^2 \quad (6)$$

با ادغام روابط بالا، نگاشت صریح پیشنهادی را می‌توان به صورت زیر بیان کرد:

$$\begin{aligned} F^* = \arg \min_F & \left\{ \frac{1}{l} \sum_{i=1}^l \| \phi(x_i) - y_i \|_2^2 + \gamma_k \|F\|_k^2 \right. \\ & + \frac{\gamma_l}{2N^2} \sum_{i=1}^N \sum_{j=1}^N w_{i,j} \|F(\phi(x_i)) \right. \\ & \left. - F(\phi(x_j))\|^2 \right\} \end{aligned} \quad (7)$$

با استفاده از تئوری زیر می‌توان راه حلی صریح برای رابطهٔ (۷) بیابیم:

Archive of SID

نظر زاویه سر، حالت چهره، متعلقات و نورپردازی متفاوت اند [۶]. پایگاه داده چهره CAS-PEAL شامل تصویر از ۹۹۵۹۴ نفر است (۵۹۵۵ مرد و ۴۴۵ زن). برای هر فرد نه دوربین در بازه های برابر در یک راستای نیم دایره ای افقی قرار داده شده است تا به طور همزمان تصاویری از منظرهای مختلف گرفته شود. از هر فرد خواسته شده به بالا و پایین نگاه کند تا تعدادی تصویر از دو زاویه دیگر گرفته شود. ما به طور تصادفی ۵۰ طبقه از تصاویر را انتخاب و آزمایش ها را روی آنها ارزیابی کردیم. برخی تصاویر از سه فرد تحت زوایای دید مختلف در شکل ۹ نشان داده شده است.



شکل ۹ : نمونه هایی از تصاویر چهره پایگاه داده CAS-PEAL تحت تغییرات منظر [۶]

۳. پایگاه داده چهره FEI: پایگاه داده چهره FEI، یک پایگاه داده چهره بزرگی است که شامل مجموعه ای از تصاویر افراد است که از نظر ظاهر، مدل مو و زاویه دید متفاوت اند [۳۲]. پایگاه داده شامل تصاویر ۲۰۰ نفر است و از هر فرد ۱۴ تصویر وجود دارد. تمام تصاویر رنگی هستند و با پس زمینه سفید از موقعیت چرخش صورت به سمت راست تا ۱۸۰ درجه چرخش گرفته شده اند. تعداد تصاویر مرد و زن برابر است. شکل ۱۰ نمونه هایی از تغییرات تصاویر در پایگاه داده FEI را نشان می دهد.



شکل ۱۰ : نمونه هایی از تغییرات تصاویر پایگاه داده چهره FEI [۳۳]

۴-۲- ایجاد بدون ناظر ساختار گراف مالتی منیفولد چندمنظری

در این بخش، نتایج انتخاب قطعه منیفولد-منظر نشان داده می شود. روش MSGE که روشنی شبیه به روش پیشنهادی است برای مقایسه انتخاب شد. MSGE برای حفظ ساختار محلی، قطعه های MMF را استخراج می کند. هر MMF از اتصال هر نمونه داده به k -نزدیک ترین همسایه ای اقلیدسی آن ایجاد می شود. با وجود اینکه هدف از انتخاب MMF ها انتخاب تصاویر هم منظر بود اما این اتفاق به درستی نخواهد افتاد؛ زیرا MMF مبتنی بر روش k -NN است. واضح است که در انتخاب همسایگی، تصاویر هم منظر و غیر هم طبقه را به تصاویر هم طبقه با اندکی تفاوت در منظر، ترجیح می دهد. بنابراین ها

برای مقایسه روش پیشنهادی و [۱] MSGE ارائه شد. در گروه دوم، نتایج بازناسی اشیا و نیز بازناسی چهره برای مقایسه روش پیشنهادی با چندین روش یادگیری منیفولد که در تحقیقات اخیر به آنها اشاره شده، مورد بررسی قرار گرفت. برای پیاده سازی روش پیشنهادی از جعبه ابزار کاهاش بعد مطلب DR Toolbox [۲۸] استفاده شد. در آزمایش ها برای نشان دادن مفهوم چندمنظری، سه پایگاه داده انتخاب شد که تصاویر آنها از منظرهای مختلف گرفته شده اند. برای بررسی دقیق بازناسی از هر فرد به طور تصادفی سه تصویر را از منظرهای مختلف انتخاب کردیم و به عنوان تصاویر آزمایشی در نظر گرفتیم. باقی تصاویر به عنوان نمونه های آموزشی در نظر گرفته می شوند. این آزمایش ها چهار بار برای تصاویر آزمایشی تصادفی مختلف انجام می شود و نتایج میانگین گرفته می شود.

۴-۱- توصیف مجموعه داده ها

در آزمایش ها سه مجموعه داده انتخاب شد که برای نشان دادن مفهوم مالتی منیفولد چندمنظری، تصاویر آنها از نظر زاویه دید تغییر می کند. در ادامه سه مجموعه داده استفاده شده توصیف می شود:

۱. مطالعات اخیر در رابطه با مفهوم یادگیری مالتی منیفولد [۳۱-۳۹] COIL-20 را به عنوان یک نمونه از مجموعه داده مالتی منیفولد و چندمنظری انتخاب کردیم. این مجموعه داده حاوی ۱۴۴۰ تصویر سطح خاکستری از ۲۰ شیء است. هر شیء در حالی که دوربین ثابت است، از طریق چرخش ۳۶۰ درجه در ۷۲ موقعیت تصویربرداری شد. نمونه هایی از این مجموعه داده در شکل ۸ نشان داده شده است.



شکل ۸ : نمونه ای از تصاویر مجموعه داده COIL-20

۲. پایگاه داده چهره CAS-PEAL: پایگاه داده چهره CAS-PEAL، یک پایگاه داده بزرگ از افراد چینی است که تصاویر از

Archive of SID

MMF در این حالت نتایج بهتری نسبت به مجموعه داده چهره بهدست آورده است.

جدول ۳: دقت در ایجاد بدون ناظر گراف همسایگی مالتیمنیفولد CAS-PEAL با مقادیر مختلف k

	روش پیشنهادی	MMF	
k	میانگین	واریانس	میانگین
۳	۰/۹۹	۰/۰۰۰۰۱۷	۰/۲۹۹۶۲۲
۶	۰/۹۹	۰/۰۰۰۰۴	۰/۲۳۳۰۵۸
۹	۰/۹۸	۰/۰۰۰۸۹	۰/۲۰۲۳۸۵
	واریانس	میانگین	واریانس
	۰/۰۰۳۲	۰/۰۰۶۵	۰/۰۹۵

جدول ٤: دقت در ایجاد بدون ناظر گراف همسایگی مالتیمنفولد حندمنظری FEI با مقادیر مختلف k

	MMF	روش پیشنهادی	k
	میانگین	میانگین	واریانس
	میانگین	میانگین	واریانس
۰/۰۰۰۰۱۴	۰/۵۹	۰/۰۰۰۰۱۶	۰/۹۵
۰/۰۰۰۰۳۶	۰/۴۲	۰/۰۰۰۰۴۲	۰/۹۱
۰/۰۰۰۸۱	۰/۳۳	۰/۰۰۰۰۹۳	۰/۸۷

واضح است که NN-k در انتخاب همسایگی، تصاویر هم‌نظر و غیر هم‌طبقه را به تصاویر هم‌طبقه با منظر متفاوت، ترجیح می‌دهد. بنابراین MMF‌ها حاوی تصاویری از طبقه‌های مختلف خواهند بود.

در روش پیشنهادی قطعه منیفولد-منظر با توجه به اینکه شbahت میان تصاویر خاصیت تعدی دارد، انتخاب می‌شود و علاوه بر شbahت میان تصویر آزمون و تصاویر همسایه، به شbahت میان تصاویر همسایه کاندید نیز توجه می‌شود. مشکل بعدی MSGE در اتصال MMF‌ها است. اتصال MMF‌ها نیز بر اساس نزدیکترین تصاویر به عناصر MMF‌ها انجام می‌شود. واضح است ممکن است اتصالاتی بین MMF‌های هم‌منظر و غیر هم‌طبقه اتفاق بیافتد. در روش پیشنهادی به جای تأثیر یک تصویر، میانگین تصاویر موجود در هر قطعه بر اتصال تأثیر می‌گذارند تا بتوانیم تأثیر تصاویر غیر هم‌طبقه و هم‌منظر را کاهش دهیم.

از آنجایی که در مجموعه داده‌ی CAS-PEAL تنها دو تصویر با منظر مشاهه برای هر فرد وجود دارد و در MSGE انتخاب عناصر قطعه منیفولد-مودال تنها بر اساس روش k -NN است، انتخاب مقدار k برابر با سه و بیشتر موجب انتخاب عناصر قطعه منیفولد-مودال از طبقه‌های دیگر می‌شود. همان‌طور که نتایج عملی نیز تأیید می‌کند کارایی روش پیشنهادی و MSGE بهشت وابسته به مقدار k است و برای تمام مجموعه داده‌های چندمنظري مناسب نیست. روش پیشنهادی عناصر قطعه منیفولد-منظر را با توجه با خاصیت تعدی

حاوی تصاویری از طبقه‌های مختلف خواهد بود. در روش پیشنهادی قطعه منیفولد-منظر با توجه به اینکه شباهت میان تصاویر خاصیت تعدی دارد انتخاب می‌شود و علاوه بر شباهت میان تصویر آزمون و تصاویر همسایه، به شباهت میان تصاویر همسایه کاندید نیز توجه می‌شود. مشکل بعدی MSGE در اتصال MMF‌ها است. اتصال MMF‌ها نیز براساس نزدیکترین تصاویر به عناصر MMF‌ها انجام می‌شود. واضح است ممکن است اتصالاتی بین MMF‌های هم‌منظر و غیر هم‌طبقه اتفاق بیافتد. در روش پیشنهادی به جای تأثیر یک تصویر، میانگین تصاویر موجود در هر قطعه بر اتصال تأثیر می‌گذاردند تا بتوانیم تأثیر تصاویر غیر هم‌طبقه و هم‌منظر را کاهش دهیم.

تعداد همسایگی در هر قطعه منیفولد-منظر نقش مهمی بر اینکه آیا گراف تشخیص داده شده برای فرد می‌تواند به طور دقیق ساختار اصلی منیفولد فرد را نشان دهد، دارد. موقوفیت تمام روش‌های یادگیری منیفولد مبتنی بر گراف به شدت وابسته به تعداد مناسب همسایگی و روش پیشنهادی ما نیز وابسته به تعداد همسایگی در هر قطعه منیفولد-منظر است. با این حال، انتخاب کارای این تعداد برای هر مجموعه داده، مسئله‌ای باز است. هنوز روشنی دقیق برای کشف تعداد صحیح همسایگی برای مجموعه داده‌های مختلف وجود ندارد. ما برای بررسی کارایی روش پیشنهادی به بررسی تأثیر تعداد قطعه منیفولد-منظر بر دقت گراف همسایگی پرداختیم. جدول ۲ دقت در ایجاد بدون ناظر گراف همسایگی مالتی-منیفولد چندمنظوری را با مقادیر مختلف k روی پایگاه داده‌های COIL-20 نشان می‌دهد.

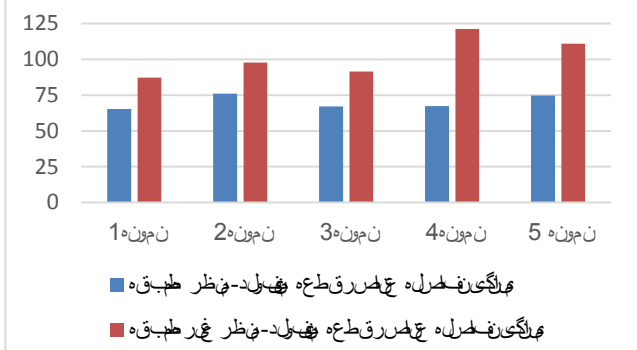
جدول ۲: دقت در ایجاد بدون ناظر گراف همسایگی مالتی-منیفولد چندمنظوری COIL-20 با مقادیر مختلف k

MMF	روش پیشنهادی	k		
واریانس	میانگین	واریانس	میانگین	
۰/۰۰۰ ۱۸	۰/۹۹	۰	۱	۳
۰/۰۰۰ ۲	۰/۹۶	۰	۱	۶
۰/۰۰۰ ۵	۰/۹۲	۰	۱	۹

دقت ایجاد گراف همسایگی روی CAS-PEAL در جدول ۳ و دقت ایجاد گراف همسایگی روی FEI در جدول ۴ نشان داده شد. نتایج عملی، نیز مباحث تئوری ارائه شده در بالا را تأیید می‌کند.

هنگامی که تعدادی تصویر هم منظر برای یک شیء وجود دارد مثل مجموعه داده‌های COIL-20، MMF می‌تواند نتایج بهتری نسبت به زمانی که از هر منظر تنها یک تصویر برای هر شیء وجود دارد مثل مجموعه داده‌ی CAS-PEAL به دست آورد. مجموعه داده‌ی COIL-20 برخلاف مجموعه داده‌های چهره حاوی تصاویر اشیا با هندسه متفاوت هستند. همان‌طور که از نتایج قابل مشاهده است،

Archive of SID



شکل ۱۱ : نمودار میانگین فاصله‌ی عناصر در قطعه منیفولد-منظیر هم‌طبقه نسبت به نمودار میانگین فاصله‌ی عناصر در قطعه منیفولد-منظیر غیر هم‌طبقه

۳-۴- بازشناسی چهار

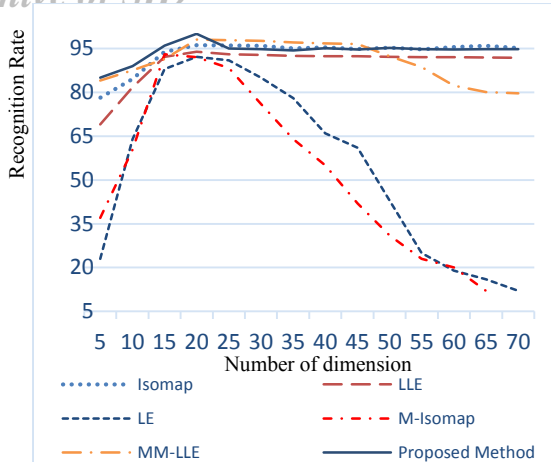
برای مقایسه، چندین روش یادگیری منیفولد مثل Isomap، LLE، LE، S-Isomap، S-LE و SNG-LLE استفاده شد. اگرچه تمام روش‌های یادگیری منیفولد توانایی یافتن نمایش داده با بعد کم را دارند، اما در بسیاری از آن‌ها با خطا در معنای فاصله‌ی تخمین زده شده روبه‌رو هستیم. این خطأ موجب نادیده گرفتن توزیع داده روی چندین منیفولد می‌شود. ما روش پیشنهادی را با روش‌های یادگیری مالتی‌منیفولد نیز مقایسه کردیم. این روش‌ها بر پایه‌ی ساخت گراف همسایگی جدید و تلاش برای حفظ بهتر فاصله‌ی پیمایشی درون طبقه‌ای و برون طبقه‌ای عمل می‌کنند پنج روش یادگیری مالتی‌منیفولد زیر برای ارزیابی مورد استفاده قرار گرفت:

۱. الگوریتم M-Isomap، k-جزء متصل در مجموعه داده را تعیین می‌کند (که k تعداد همسایگان است) و سپس Isomap استاندارد را روی هر یک از این اجزاء متصل، به صورت مستقل، اعمال می‌کند.
۲. SLLE یک روش انتخاب همسایگی باانظر برای داده‌ی مالتی‌منیفولد است که به طور مصنوعی فاصله‌ی بین اشیا متعلق به طبقه‌های مختلف را افزایش می‌دهد اما فاصله‌ی میان اشیا هم‌طبقه را بدون تغییر باقی می‌گذارد.
۳. M-LLE از روش SLLE برای انتخاب همسایگی در فاز اول LLE استفاده می‌کند.
۴. SH-NGC-LLE از روش SNG برای انتخاب همسایگی در فاز اول LLE استفاده می‌کند. SNG روش یادگیری منیفولد باانظر است که با نزدیک کردن تصاویر هم‌طبقه و دور کردن تصاویر غیرهم‌طبقه سعی در بهبود یادگیری منیفولد دارد.
۵. MGE با استفاده از روش k-NN، قطعه منیفولد-موdal (MMF) را به عنوان بخشی از منیفولد موdal در یک طبقه تعریف

در شباهت میان عناصر انتخاب می‌کند، بنابراین شناس بیشتری برای انتخاب عناصر هم‌طبقه دارد. هنگامی که تغییرات کوچکی در موقعیت اشیا در طول یک چرخه‌ی دید داریم، مثل مجموعه داده‌ی COIL-20 و CAS-PEAL روش پیشنهادی به خوبی می‌تواند کارایی خود را نشان دهد. مجموعه داده‌ی COIL-20 برخلاف مجموعه داده‌های چهره حاوی تصاویر اشیا با هندسه متفاوت هستند و برای هر شیء ۱۵ تصویر با منظر بسیار مشابه وجود دارد. همان‌طور که از نتایج قابل مشاهده است، MMF در این حالت نتایج بهتری نسبت به مجموعه داده چهره به دست آورده است. برتری روش پیشنهادی هنگامی که هندسه‌ی اشیا شبیه به هم است و نیز از هر شیء تنها یک تصویر هم منظر وجود دارد، یعنی در پایگاه داده CAS-PEAL FEI چشم‌گیر است. در نهایت CAS-PEAL در بازه‌های برابر در یک راستای نیم‌دایره‌ی افقی قرار گرفته شد و ۲۱ تصویر از هر فرد ذخیره شد. در FEI از هر فرد ۱۳ تصویر در راستای نیم‌دایره افقی داریم. در FEI نیز بازه‌ی تغییر زاویه‌ی سر برای تمام افراد برابر است اما بیشتر از بازه‌ی تغییر زاویه چرخش و خاصیت تعدی در شباهت خاطر تغییرات کم در زاویه‌ی چرخش و خاصیت تعدی در شباهت میان تصاویر، روش پیشنهادی در تعداد همسایگی بیشتر نیز می‌تواند نتایج قابل قبولی را برای CAS-PEAL به دست آورد. اما در مجموعه تصاویر FEI، شباهت میان تصاویر هم‌منظر از طبقه‌های مختلف بر خاصیت تعدی در شباهت میان تصاویر هم‌طبقه غلبه می‌کند و در تعداد همسایگی بالا روی FEI نتایج مطلوبی را به دست نخواهد آورد.

برتری روش هنگامی که هندسه‌ی اشیا شبیه به هم است و نیز از هر شیء تنها یک تصویر هم منظر وجود دارد، یعنی در پایگاه داده FEI و CAS-PEAL چشم‌گیر است.

اتصال قطعه منیفولد های منظر در روش MSGE براساس نزدیک‌ترین تصویر در دو قطعه منیفولد-منظر انجام شد. در روش پیشنهادی استفاده از میانگین فاصله میان عناصر منیفولد های منظر برای اتصال منیفولد ها پیشنهاد شد. برای نشان دادن برتری استفاده از میانگین فاصله میان عناصر قطعه منیفولد ها، در شکل ۱۱، نمودار میانگین فاصله عناصر در قطعه منیفولد-منظر هم‌طبقه نسبت به نمودار میانگین فاصله عناصر در قطعه منیفولد-منظر غیر هم‌طبقه برای پنج تصویر که از منظرهای مختلف به صورت تصادفی انتخاب شده ارائه شد.



شکل ۱۲ : بررسی تأثیر بعد کاهش یافته بر نرخ بازناسی

برای نشان دادن مزیت روش پیشنهادی در انتخاب صحیح همسایگی، نرخ بازناسی با تعداد مختلف همسایگی مورد آزمایش قرار گرفت. لازم به ذکر است، نتایج آزمایشات ما با نتایج ارائه شده برای S-LE در [۸] مطابقت ندارد. دلیل این عدم انطباق را می‌توان به خاطر روش متفاوت مقایسه دانست. در S-LE، تمام مجموعه داده روی زیر فضای تعییه تصویر می‌شود، سپس داده در فضای کم بُعد به دو بخش آموزشی و آزمایشی تقسیم می‌شود. نمونه‌های آزمایشی براساس نزدیکترین همسایه در فضای تعییه طبقه‌بندی می‌شوند. نتایج کاهش بُعد گزارش شده در S-LE، هم از داده‌ی آموزشی و هم از داده‌ی آزمایشی بهره می‌برد که این مطلب برای وظایف دنیای واقعی صحیح نیست؛ ما در اولین مرحله از بازناسی، داده‌های آزمایشی را در اختیار نداریم، بلکه باید داده‌ی آموزشی را به فضای با بُعد کم تصویر کنیم، سپس تابع نگاشت از نقاط داده در فضای اصلی و نقاط متناظر آن‌ها در فضای هم بُعد را بگیریم. سپس، داده‌ی آزمون جدید و بدون برچسب را با استفاده از تابع نگاشت یاد گرفته شده، نگاشت دهیم. بنابراین، نتایج ما نسبت به نتایج گزارش شده برای S-LE مقادیر کمتری دارد.

نتایج مقایسه‌ی روش پیشنهادی و روش‌های مالتی‌منیفولد روی مجموعه داده‌ی COIL-20 در شکل ۱۳(ب) نشان داده شده است. کارایی M-Isomap بهشت وابسته به انتخاب همسایگی k-NN است.

بنابراین در پایگاه داده‌هایی مثل COIL-20 (شکل ۱۳(ب)) که شامل تصاویر مختلف با زاویه‌های دید مختلف است، همسایه‌ها ممکن است از طبقه‌های مختلف انتخاب شوند. از این‌رو، نرخ بازناسی در M-Isomap دقت انتخاب همسایگی می‌تواند تغییر کند.

می‌کند. سپس، MMF-های یک طبقه و همچنین نزدیک‌ترین رؤوس همسایه در دو منیفولد-طبقه و یک منیفولد مودال را بهم متصل می‌کند.

برای مقایسه‌ی دقت روش پیشنهادی و روش‌های ذکر شده در بالا، ما نقاط داده در فضای با ابعاد بالا را به فضای با بُعد کم تصویر کردیم. سپس، با استفاده از طبقه‌بندی کننده‌ی ۵-نزدیک‌ترین همسایه به پیش‌بینی برچسب طبقه تصویر پرس‌وجو پرداختیم.

لازم به یادآوری است که برخلاف روش‌های یادگیری منیفولد استاندارد، روش پیشنهادی یکتابع صریح برای نگاشت نقاط داده از فضای با ابعاد بالا به فضای با ابعاد کم، یا به عبارت دیگر راه حلی برای مشکل توسعه خارج از نمونه در یادگیری منیفولد، ارائه می‌دهد. برای دیگر روش‌های یادگیری منیفولد که دارای تابع صریح برای نگاشت داده نیستند، باید یکتابع نگاشت از نقاط داده در مجموعه آموزشی به نمونه‌های متناظر با آن‌ها در فضای با بُعد کم به دست آوریم. ما از شبکه رگرسیون تعمیم یافته برای تقریب تابع نگاشت استفاده کردیم. سپس، تصویر آزمون بدون برچسب جدید با استفاده از نگاشت کاهش بُعد یاد گرفته شده، نگاشت داده شد. برای هر مجموعه داده، به طور تصادفی سه تصویر از منظرهای مختلف را به عنوان تصویر آزمایشی انتخاب کردیم و باقی تصاویر به عنوان نمونه‌های آموزشی استفاده شد. آزمایشات چهار بار با تصاویر انتخاب شده به صورت تصادفی تکرار و از نتایج میانگین گرفته شد.

برای بررسی عملی محدوده‌ی مقدار d به عنوان بُعد کاهش یافته ما به مقایسه‌ی روش پیشنهادی و دو روش یادگیری مالتی منیفولد MM-LLE و M-Isomap و نیز تعدادی روش یادگیری منیفولد روی مجموعه داده COIL-20 DR Toolbox پرداختیم. برای مقایسه تأثیر مقدار d بر الگوریتم‌های یادگیری، طیف وسیعی از مقادیر d پوشش داده شد، که در شکل ۱۲ نشان داده شده است. با توجه به مقادیر مختلف d بررسی شده، بهترین نتایج براساس مقدار بُعد ذاتی به دست خواهد آمد. از این‌رو، نرخ تشخیص برای مقایسه‌ی روش پیشنهادی و روش‌های پیشین فقط برای مقدار ذاتی d که با استفاده از تابع intrinsic_dim مبتنی بر روش پیشینه درست نمایی^{۱۶} در جعبه‌ابزار کاهش بعد متلب DR Toolbox [۲۸] به دست آمد.

نتایج مقایسه‌ی روش پیشنهادی با دیگر روش‌های یادگیری منیفولد روی COIL-20 در شکل ۱۳ نشان داده شد. همان‌طور که در روش پیشنهادی و روش MSGE تعداد عناصر در قطعه منیفولد-منظر بر نرخ بازناسی تأثیرگذار است، در باقی روش‌های مورد مقایسه نرخ بازناسی به تعداد همسایه‌ی انتخاب شده وابسته است.

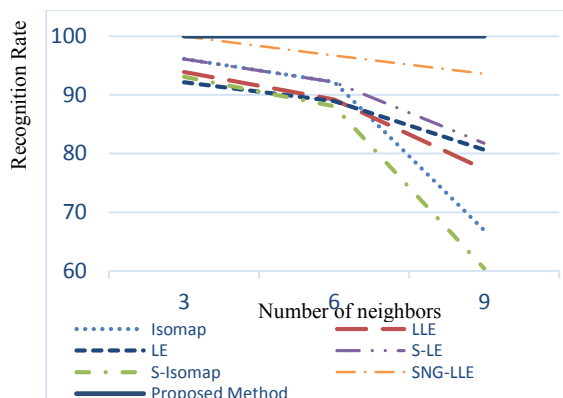
Archive of SID

هم منظر بر خاصیت تعدی در شباهت میان تصاویر مشابه تأکید دارد. با انتخاب دقیق عناصر منیفولد-منظر می توان ساختار محلی هر منیفولد و با اتصال عناصر منیفولد-منظر هم طبقه معنای هندسی را برای مدل سازی تصاویر مالتی منیفولد حفظ کرد. همان طور که در نتایج شکل ۱۳ (ب) قابل مشاهده است، نتایج روش پیشنهادی که یک روش بدون ناظر است با نتایج روش باناظر SH-NGC-[۱۲]-LLE نزدیک است.

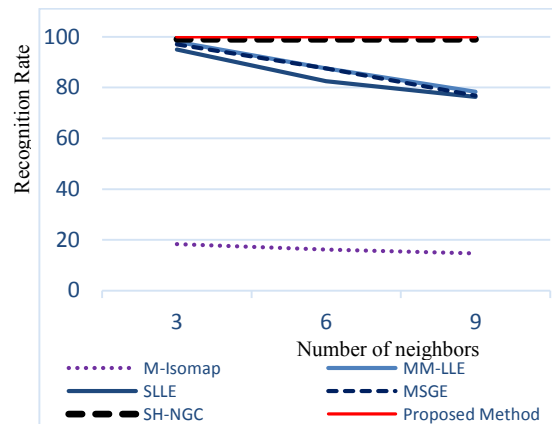
از آنجایی که اشیا در طبقه های مختلف مجموعه داده های چهره، هندسه های مشابه دارند و تعداد افراد برای هر منظر در هر طبقه نسبتاً کم است، می خواهیم بررسی کنیم که چگونه عملکرد هر یک از روش های یادگیری منیفولد هنگامی که که تعداد همسایه ها افزایش می یابد، تغییر می کند. برای این هدف، از مجموعه داده های CAS-PEAL و FEI برای آزمایش روش های یادگیری مالتی منیفولد چند منظری استفاده شد. آزمایشات روی مجموعه داده های چهره مشابه با COIL-20 است. نتایج آزمایشات روی CAS-PEAL در شکل ۱۴ نشان داده شد. نتایج مقایسه های روش پیشنهادی و روش های یادگیری منیفولد در شکل ۱۴(الف) و نتایج مقایسه های روش پیشنهادی با روش های یادگیری مالتی منیفولد در شکل ۱۴(ب) نشان داده شد. نتایج آزمایش های انجام شده روی شکل ۱۴(ب) نشان داده شد. نتایج آزمایشات روی این مجموعه داده ها برتری روش پیشنهادی را نسبت به روش های مطرح یادگیری مالتی منیفولد نشان می دهد.

از آنجایی که در مجموعه داده های FEI و CAS-PEAL تنها دو تصویر با منظر مشابه برای هر فرد وجود دارد، در MSGE که انتخاب عناصر قطعه منیفولد-مودال تنها براساس روش k -NN است، انتخاب مقدار k برابر با سه موجب انتخاب عناصر قطعه منیفولد-مودال از طبقه های دیگر می شود. همان طور که نتایج عملی نیز تأیید می کند کارایی روش MSGE به شدت وابسته به مقدار k است و برای تمام مجموعه داده های هم منظر مناسب نیست.

روش پیشنهادی عناصر قطعه منیفولد-منظر را با توجه با خاصیت تعدی در شباهت میان عناصر انتخاب می کند، بنابراین شناس بیشتری برای انتخاب عناصر هم طبقه دارد. روش های MM-SLLE، SH-NGC-LLE و M-Isomap، LLE MSGE از برچسب نقاط داده برای افزایش فاصله های میان نقاط هم طبقه استفاده می کنند و نتایج بهتری را به دست می آورند.



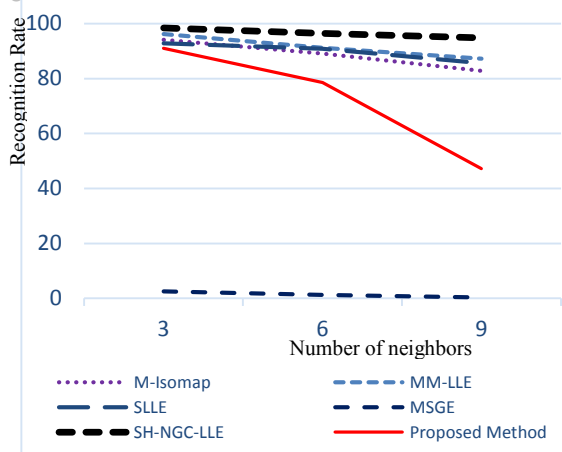
(الف)



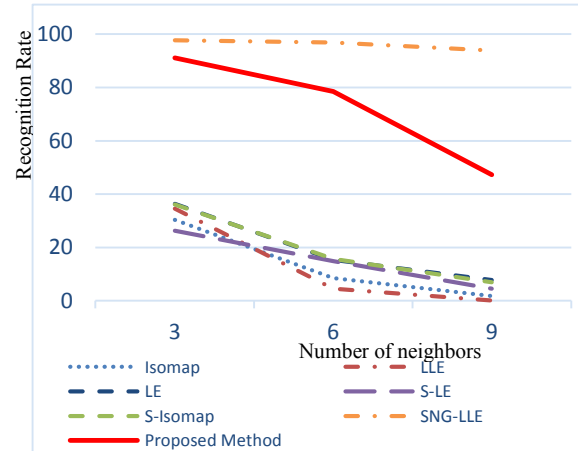
(ب)

شکل ۱۳ : مقایسه نوخ بازناسی برای مجموعه داده های COIL-20 با مقادیر مختلف تعداد همسایگان (k). (الف) نوخ بازناسی روش های یادگیری منیفولد و روش پیشنهادی. (ب) نوخ بازناسی روش های یادگیری مالتی منیفولد و روش پیشنهادی.

نتایج آزمایش هایی که در شکل ۱۳(ب) خلاصه شده است نشان می دهد که SLLE و MM-LLE در ظایف دنیای واقعی کارایی بالایی ندارند. بنابراین استفاده از آن ها در انتخاب همسایگی برای داده های مالتی منیفولد و چند منظری مناسب نیست. SH-NGC-LLE با رفتاری باناظر تلاش می کند با تعریف معنایی جدید برای فاصله های بین نقاط داده همسایگان هم طبقه از منظرهای مختلف را انتخاب کند. در SH-NGC-LLE تناسب میان نقاط داده و معنای هندسی توزیع داده حفظ می شود. کارایی MSGE وابسته به تعداد تصاویر آموزشی هم منظر برای هر شیء است. در MSGE برای انتخاب عناصر هر قطعه منیفولد-مودال از روش k -NN استفاده شد. در مجموعه داده هایی مثل COIL-20 که تعداد کمی از تصاویر هم طبقه، هم منظر هستند، نوخ بازناسی برای MSGE با افزایش تعداد عناصر در قطعه منیفولد-مودال، کاهش می یابد. کارایی روش پیشنهادی نیز به تعداد تصاویر آموزشی هم منظر برای هر شیء وابسته است. در روش پیشنهادی برای انتخاب عناصر هم طبقه و

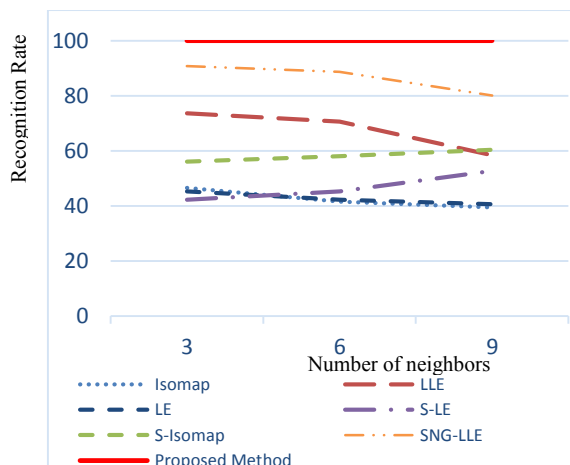


(الف)

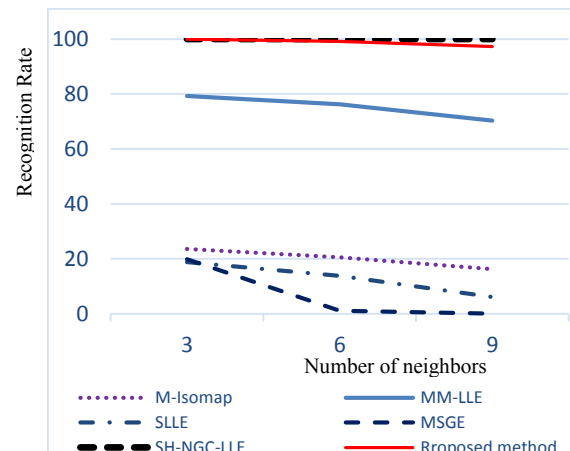


(ب)

شکل ۱۵ : مقایسه نرخ بازشناسی برای مجموعه داده‌ی FEI با مقادیر مختلف تعداد همسایگان (k). (الف) نرخ بازشناسی روش‌های یادگیری منیفولد و روش پیشنهادی. (ب) نرخ بازشناسی روش‌های یادگیری مالتیمنیفولد و روش پیشنهادی



(الف)



(ب)

شکل ۱۴ : مقایسه نرخ بازشناسی برای مجموعه داده‌ی CAS-PEAL با مقادیر مختلف همسایگان (k). (الف) نرخ بازشناسی روش‌های یادگیری منیفولد و روش پیشنهادی. (ب) نرخ بازشناسی روش‌های یادگیری مالتیمنیفولد و روش پیشنهادی.

یک واحد اطلاعاتی مستقل تعریف کردیم که حاوی تصاویر هم‌طبقه و هم‌منظر باشد. با توجه به اینکه در روش پیشنهادی اطلاعات برچسب در اختیار نیست، با توجه به خاصیت تعدی در شباهت میان تصاویر، قطعه‌های منیفولد-منظر انتخاب شد. برای حفظ رابطه‌ی بین منیفولد محلی درون طبقه‌ی و اطلاعات متمایزکننده برونو طبقه‌ای، بدون استفاده از اطلاعات برچسب طبقه، از میانگین فاصله‌ی بین قطعه‌های منیفولد-منظر استفاده کردیم. در انتهای، برای ساخت یک نگاشت کاهش بُعد صریح، ما یک روش کاهش بُعد غیرخطی باناظر پیشنهاد دادیم. روش پیشنهادی ما تصاویر یک شیء را به مکان‌های نزدیک هم و تصاویر اشیا دیگر را به مکان‌های دور از آن نگاشت می‌دهد. هدف روش پیشنهادی ما، حل مسئله‌ی بازشناسی است، درحالی‌که تصاویر هر شیء از چندین زاویه دید تصویربرداری شده است. روش پیشنهادی با استفاده از سه مجموعه

۵- نتیجه‌گیری

در این مقاله، روشی بدون ناظر برای کشف خودکار منیفولد طبقه در بازشناسی مالتیمنیفولد چندمنظیری پیشنهاد شد. ایده‌ی روش پیشنهادی از نیاز روش‌های یادگیری مالتیمنیفولد برای انتخاب منیفولدهای هم‌طبقه از میان تصاویر موجود از منظرهای مختلف مربوط به اشیا متفاوت ناشی شد. ما تصاویر مربوط به هر شیء که از زوایای دید مختلف تصویربرداری شده است را به عنوان یک منیفولد-طبقه نسبتاً مستقل طبقه‌بندی کردیم. برای تعییه گراف داده چندمنظیری، روشی برای ساخت گراف مطلوب است که هم ساختار مالتیمنیفولد چندمنظیری و هم اطلاعات متمایزکننده را منعکس کند. برای این منظور ما قطعه منیفولد-منظر را به عنوان

Archive of SID

Society Conferenceon Compute rVision and Pattern Recognition, CVPR, 2005.

- [16] M. Sugiyama, "Local fisher discriminant analysis for supervised dimensionality reduction," presented at the Proceedings of the 23rd International Conferenceon Machine Learning, Pittsburgh, Pennsylvania, 2006.
- [17] D. Cai, X. He, K. Zhou, J. Han, and H. Bao, "Locality sensitive discriminant alysis," *IJCAI*, pp. 708–713, 2007.
- [18] X. He, M. Ji, and H. Bao, "Graph embedding with constraints," *IJCAI*, vol. 9, pp. 1065–1070, 2009.
- [19] Y. Bengio, J. F. Paiement, P. Vincent, O. Delalleau, N. L. Roux, and M. Ouimet, "Out-of-sample extensions for LLE, Isomap, MDS, eigenmaps, and spectral clustering," presented at the Proceedings of the Neural Information Processing Systems, MIT Press, Cambridge, MA, 2004.
- [20] W. K. Wonga and H. T. Zhao, "Supervised optimal locality preserving projection," *Pattern Recognition* , vol. 45 pp. 186–197, 2012.
- [21] B. Yang, M. Xiang, and Y. Zhang, "Multi-manifold discriminant Isomap for visualization and classification," *Pattern Recognition*, vol. 55, pp. 215–230, 2016.
- [22] N. Gu, M. Fan, H. Qiao, and B. Zhang, "Discriminative Sparsity Preserving Projections for Semi-Supervised Dimensionality Reduction," *IEEE SIGNAL PROCESSING LETTERS*, vol. 19, pp. 391–394, 2012.
- [23] M. Fan, X. Zhang, Z. Lin, Z. Zhang, and H. Bao, "A Regularized Approach for Geodesic-Based Semisupervised Multimanifold Learning," *IEEE TRANSACTIONS ON IMAGE PROCESSING*, vol. 23, pp. 2133–2147, 2014.
- [24] B. Fischer and J. M. Buhmann, "Path-based clustering for grouping of smooth curves and texture segmentation," *IEEE Trans. Pattern Analysis and Machine Intelligence*, vol. 25 .pp. 513–518, 2003.
- [25] T. Evgeniou, T. Poggio, M. Pontil, and A. Verri, "Regularization and statistical learning theory for data analysis," *Computational Statistics & Data Analysis*, vol. 38, pp. 421–432, 2002.
- [26] M. Belkin, P. Niyogi, and V. Sindhwani, "Manifold Regularization: A Geometric Framework for Learning from Labeled and Unlabeled Examples," *J. Mach. Learn. Res.*, vol. 7, pp. 2399–2434, 2006.
- [27] N. Gu, M. Fan, H. Qiao, and B. Zhang, "Discriminative Sparsity Preserving Projections for Semi-Supervised Dimensionality Reduction," *IEEE Signal Processing Letters*, vol. 19, pp. 391 - 394, 2012.
- [28] L. v. d. Maaten, E. Postma, and J. v. d. Herik, "Dimensionality Reduction: A Comparative Review," Tilburg University Technical Report, TiCC-TR 2009-
- [29] J. Lu, Y.-P. Tan, and G. Wang, "Discriminative Multimanifold Analysis for Face Recognition from a Single Training Sample per Person," *IEEE Transactions on Pattern Analysis and Machine Intelligence*, vol. 35, pp. 39 - 51, 2013.
- [30] M. Fornasier and F. Pitelli, "Adaptive iterative thresholding algorithms for magnetoence phalography (MEG)," *Comput.Appl.Math.*, vol. 211, pp. 386–395, 2008.
- [31] F. Nie, H. Huang, X. Cai, and C. Ding, "Efficient and robust feature selection via joint $\ell_2,1$ -norms minimization," *Advances in Neural Information Processing Systems*, 2010.
- [32] C. EduardoThomaz and G. AntonioGiraldi, "A new ranking method for Principal Components Analysis and its application to face image analysis," *Image and Vision Computing*, vol. 28, pp. 902-913, 2010.
- [33] T. C. E. and G. G. A., "A new ranking method for Principal Components Analysis and its application to face image analysis," *Image and Vision Computing*, vol. 28, pp. 902-913, 2010.

تصاویر چندمنظوری موردنی ارزیابی و مقایسه با روش های پیشین فرار گرفت. نتایج بدست آمده بسیار امیدوار کننده است؛ نتایج، توانایی روش پیشنهادی را برای انتخاب تصاویر هم طبقه و هم منظر تأیید می کند. یافته های ما در نزد بازنگاری توانایی روش در شرایط چندمنظوری سخت مثل چهره را نشان می دهد.

مراجع

- [1] J. Li, Y. Wu, J. Zhao, and K. Lu, "Multi-manifold Sparse Graph Embedding for Multi-modal Image Classification," *Neurocomputing*, vol. 173, pp. 501–510, 2016.
- [2] YangxiLi, XinShi, CuilanDu, YangLiu, and YonggangWen, "Manifold regularized multi-view feature selection for social image annotation," *Neurocomputing*, vol. 204, pp. 135-141, 2016.
- [3] S. Sun, "A survey of multi-view machine learning," *Neural Comput & Applic.*, vol. 23, pp. 2031–2038, 2013.
- [4] B. Schölkopf, A.Smola, and K.-R.Müller, "Kernel principal component analysis," *Artificial Neural Networks-ICANN'97, Springer, Lausanne, Switzerland*, pp. 583–588, 1997.
- [5] W. Liu, H. Zhang, D. Tao, Y. Wang, and K. Lu, "Large-scale paralleled sparse principal component analysis," *Multimed.Tools.Appl.*, pp. 1-13, 2013.
- [6] W. Gao, B. Cao, S. Shan, X. Chen, D. Zhou, X. Zhang, et al., "The CAS-PEAL Large-Scale Chinese Face Database and Baseline Evaluations," *IEEE TRANSACTIONS ON SYSTEMS, MAN, AND CYBERNETICS—PART A: SYSTEMS AND HUMANS*, vol. 38, pp. 149-161, 2008.
- [7] X. Geng, D. C. Zhan, and Z. H. Zhou, "Supervised Nonlinear Dimensionality Reduction for Visualization and Classification," *IEEE TRANSACTIONS ON SYSTEMS, MAN, AND CYBERNETICS—PART B: CYBERNETICS*, vol. 35, pp. 1098-1107, 2005.
- [8] B. Raducanu and F.Dornaika, "A supervised non-linear dimensionality reduction approach for manifold learning," *Pattern Recognition*, vol. 45, pp. 2432–2444, 2012.
- [9] F. Aeini, A. m. Eftekhari-Moghadam, and F. Mahmoudi, "Non Linear Dimensional Reduction Method based on Supervised Neighborhood Graph," presented at the 7th International Symposium on Telecommunications (IST'2014), Tehran, Iran, 2014.
- [10] D. d. Ridder, O. Kouropteva, O. Okun, M. Pietikainen, and R. P. W. Duin, "Supervised locally linear embedding," presented at the Artificial Neural Networks and Neural Information Processing-ICANN/ICONIP 2003, 2003.
- [11] Z. Zhang, T. W. S. Chow, and M. Zhao, "M-Isomap: Orthogonal Constrained Marginal Isomap for Nonlinear Dimensionality Reduction," *IEEE Transactions on Cybernetics* vol. 43, pp. 180 - 191, 2013.
- [12] R. Hettiarachchi and J.F.Peters, "Multi-manifold LLE learning in pattern recognition," *Pattern Recognition*, vol. 48, pp. 2947–2960, 2015.
- [13] F. Aeini, A. M. E. Moghadam, and F. MAhmoudi, "Supervised hierarchical neighborhood graph construction for manifold learning," *Signal, Image and Video Processing*, vol. 12, pp. 1-9, 2018.
- [14] C.-S. Lee, A. Elgammal, and M. Torki, "Learning representations from multiple manifolds," *Pattern Recognition*, vol. 50, pp. 74-87, 2016.
- [15] H.-T. Chen, H.-W. Chan, and T.-L. Liu, "Local discriminant embedding and its variants," presented at the 2005 IEEE Computer

پاورقی ها:

¹ Manifold learning

² Real-world

³ Embedded

⁴ Neighborhood graph

⁵ Multi-view

⁶ class

⁷ inconsistency

⁸ Face recognition

⁹ Action recognition

¹⁰ Object

¹¹ Geodesic

¹² explicit

¹³ Generalized regression network

¹⁴ Out-of-sample

¹⁵ Regularized

¹⁶ Maximum Likelihood Estimator